Ein und Ausgabe: Farbmetrisches Drucker-Reflektiv-System FRS12_95a für relativen CIELAB-Buntton $h^* = lab^*h^* = h_{ab}/360 = 0.451$ $u^*_e = g00b$

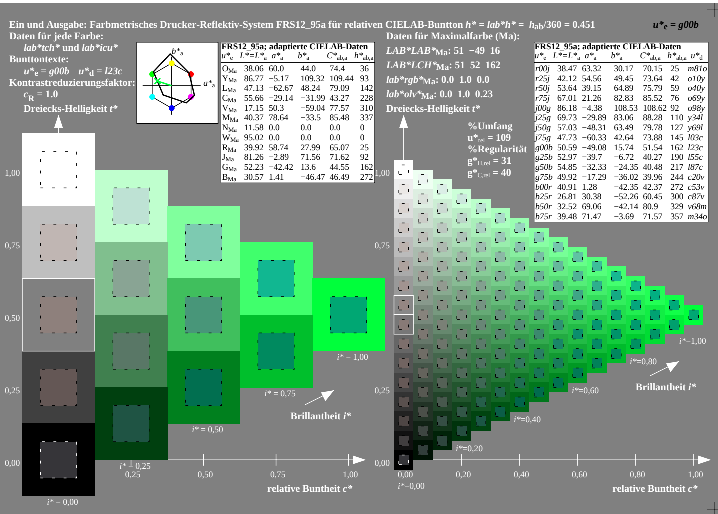

Daten für jede Farbe:
lab^*tch^* und lab^*icu^*
Bunttontexte:
$u^*_e = g00b$ $u^*_d = l23c$
Kontrastreduzierungsfaktor:
$c_R = 1.0$
Dreiecks-Helligkeit t^*

FRS12_95a; adaptierte CIELAB-Daten

u^*_e	$L^*=L^*_a$	a^*_a	b^*_a	$C^*_{ab,a}$	$h^*_{ab,a}$
O_{Ma}	38.06	60.0	44.0	74.4	36
Y_{Ma}	86.77	−5.17	109.32	109.44	93
L_{Ma}	47.13	−62.67	48.24	79.09	142
C_{Ma}	55.66	−29.14	−31.99	43.27	228
V_{Ma}	17.15	50.3	−59.04	77.57	310
M_{Ma}	40.37	78.64	−33.5	85.48	337
N_{Ma}	11.58	0.0	0.0	0.0	0
W_{Ma}	95.02	0.0	0.0	0.0	0
R_{Ma}	39.92	58.74	27.99	65.07	25
J_{Ma}	81.26	−2.89	71.56	71.62	92
G_{Ma}	52.23	−42.42	13.6	44.55	162
B_{Ma}	30.57	1.41	−46.47	46.49	272

Daten für Maximalfarbe (Ma):
$LAB^*LAB^*_{Ma}$: 51 −49 16
$LAB^*LCH^*_{Ma}$: 51 52 162
$lab^*rgb^*_{Ma}$: 0.0 1.0 0.0
$lab^*olv^*_{Ma}$: 0.0 1.0 0.23
Dreiecks-Helligkeit t^*
%Umfang
$u^*_{rel} = 109$
%Regularität
$g^*_{H,rel} = 31$
$g^*_{C,rel} = 40$

FRS12_95a; adaptierte CIELAB-Daten

u^*_e	$L^*=L^*_a$	a^*_a	b^*_a	$C^*_{ab,a}$	$h^*_{ab,a}$	u^*_d
r00j	38.47	63.32	30.17	70.15	25	m81o
r25j	42.12	54.56	49.45	73.64	42	o10y
r50j	53.64	39.15	64.89	75.79	59	o40y
r75j	67.01	21.26	82.83	85.52	76	o69y
j00g	86.18	−4.38	108.53	108.62	92	o98y
j25g	69.73	−29.89	83.06	88.28	110	y34l
j50g	57.03	−48.31	63.49	79.78	127	y69l
j75g	47.73	−60.33	42.64	73.88	145	l03c
g00b	50.59	−49.08	15.74	51.54	162	l23c
g25b	52.97	−39.7	−6.72	40.27	190	l55c
g50b	54.85	−32.33	−24.35	40.48	217	l87c
g75b	49.92	−17.29	−36.02	39.96	244	c20v
b00r	40.91	1.28	−42.35	42.37	272	c53v
b25r	26.81	30.38	−52.26	60.45	300	c87v
b50r	32.52	69.06	−42.14	80.9	329	v68m
b75r	39.48	71.47	−3.69	71.57	357	m34o

Ein und Ausgabe: Farbmetrisches Drucker-Reflektiv-System FRS12_95a für relativen CIELAB-Buntton $h^* = lab^*h^* = h_{ab}/360 = 0.527$ $u^*_e = g25b$

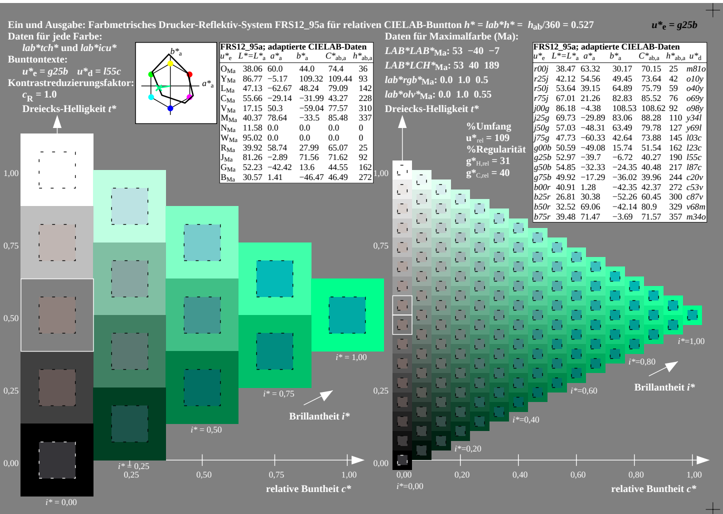

Daten für jede Farbe:
lab^*tch^* und lab^*icu^*
Bunttontexte:
$u^*_e = g25b$ $u^*_d = l55c$
Kontrastreduzierungsfaktor:
$c_R = 1.0$
Dreiecks-Helligkeit t^*

FRS12_95a; adaptierte CIELAB-Daten

u^*_e	$L^*=L^*_a$	a^*_a	b^*_a	$C^*_{ab,a}$	$h^*_{ab,a}$
O_{Ma}	38.06	60.0	44.0	74.4	36
Y_{Ma}	86.77	−5.17	109.32	109.44	93
L_{Ma}	47.13	−62.67	48.24	79.09	142
C_{Ma}	55.66	−29.14	−31.99	43.27	228
V_{Ma}	17.15	50.3	−59.04	77.57	310
M_{Ma}	40.37	78.64	−33.5	85.48	337
N_{Ma}	11.58	0.0	0.0	0.0	0
W_{Ma}	95.02	0.0	0.0	0.0	0
R_{Ma}	39.92	58.74	27.99	65.07	25
J_{Ma}	81.26	−2.89	71.56	71.62	92
G_{Ma}	52.23	−42.42	13.6	44.55	162
B_{Ma}	30.57	1.41	−46.47	46.49	272

Daten für Maximalfarbe (Ma):
$LAB^*LAB^*_{Ma}$: 53 −40 −7
$LAB^*LCH^*_{Ma}$: 53 40 189
$lab^*rgb^*_{Ma}$: 0.0 1.0 0.5
$lab^*olv^*_{Ma}$: 0.0 1.0 0.55
Dreiecks-Helligkeit t^*
%Umfang
$u^*_{rel} = 109$
%Regularität
$g^*_{H,rel} = 31$
$g^*_{C,rel} = 40$

FRS12_95a; adaptierte CIELAB-Daten

u^*_e	$L^*=L^*_a$	a^*_a	b^*_a	$C^*_{ab,a}$	$h^*_{ab,a}$	u^*_d
r00j	38.47	63.32	30.17	70.15	25	m81o
r25j	42.12	54.56	49.45	73.64	42	o10y
r50j	53.64	39.15	64.89	75.79	59	o40y
r75j	67.01	21.26	82.83	85.52	76	o69y
j00g	86.18	−4.38	108.53	108.62	92	o98y
j25g	69.73	−29.89	83.06	88.28	110	y34l
j50g	57.03	−48.31	63.49	79.78	127	y69l
j75g	47.73	−60.33	42.64	73.88	145	l03c
g00b	50.59	−49.08	15.74	51.54	162	l23c
g25b	52.97	−39.7	−6.72	40.27	190	l55c
g50b	54.85	−32.33	−24.35	40.48	217	l87c
g75b	49.92	−17.29	−36.02	39.96	244	c20v
b00r	40.91	1.28	−42.35	42.37	272	c53v
b25r	26.81	30.38	−52.26	60.45	300	c87v
b50r	32.52	69.06	−42.14	80.9	329	v68m
b75r	39.48	71.47	−3.69	71.57	357	m34o

Ein und Ausgabe: Farbmetrisches Drucker-Reflektiv-System FRS12_95a für relativen CIELAB-Buntton $h^* = lab^*h^* = h_{ab}/360 = 0.603$ $u^*_e = g$

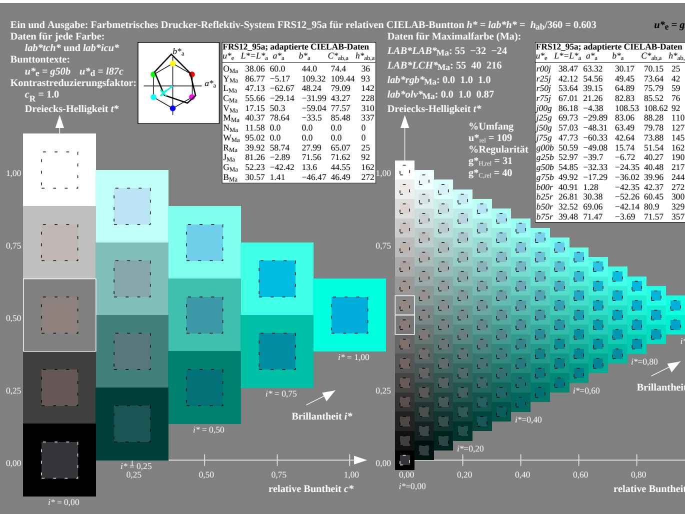

Daten für jede Farbe:
lab^*tch^* und lab^*icu^*
Bunttontexte:
$u^*_e = g50b$ $u^*_d = l87c$
Kontrastreduzierungsfaktor:
$c_R = 1.0$
Dreiecks-Helligkeit t^*

FRS12_95a; adaptierte CIELAB-Daten

u^*_e	$L^*=L^*_a$	a^*_a	b^*_a	$C^*_{ab,a}$	$h^*_{ab,a}$
O_{Ma}	38.06	60.0	44.0	74.4	36
Y_{Ma}	86.77	−5.17	109.32	109.44	93
L_{Ma}	47.13	−62.67	48.24	79.09	142
C_{Ma}	55.66	−29.14	−31.99	43.27	228
V_{Ma}	17.15	50.3	−59.04	77.57	310
M_{Ma}	40.37	78.64	−33.5	85.48	337
N_{Ma}	11.58	0.0	0.0	0.0	0
W_{Ma}	95.02	0.0	0.0	0.0	0
R_{Ma}	39.92	58.74	27.99	65.07	25
J_{Ma}	81.26	−2.89	71.56	71.62	92
G_{Ma}	52.23	−42.42	13.6	44.55	162
B_{Ma}	30.57	1.41	−46.47	46.49	272

Daten für Maximalfarbe (Ma):
$LAB^*LAB^*_{Ma}$: 55 −32 −24
$LAB^*LCH^*_{Ma}$: 55 40 216
$lab^*rgb^*_{Ma}$: 0.0 1.0 1.0
$lab^*olv^*_{Ma}$: 0.0 1.0 0.87
Dreiecks-Helligkeit t^*
%Umfang
$u^*_{rel} = 109$
%Regularität
$g^*_{H,rel} = 31$
$g^*_{C,rel} = 40$

FRS12_95a; adaptierte CIELAB-Daten

u^*_e	$L^*=L^*_a$	a^*_a	b^*_a	$C^*_{ab,a}$	$h^*_{ab,}$
r00j	38.47	63.32	30.17	70.15	25
r25j	42.12	54.56	49.45	73.64	42
r50j	53.64	39.15	64.89	75.79	59
r75j	67.01	21.26	82.83	85.52	76
j00g	86.18	−4.38	108.53	108.62	92
j25g	69.73	−29.89	83.06	88.28	110
j50g	57.03	−48.31	63.49	79.78	127
j75g	47.73	−60.33	42.64	73.88	145
g00b	50.59	−49.08	15.74	51.54	162
g25b	52.97	−39.7	−6.72	40.27	190
g50b	54.85	−32.33	−24.35	40.48	217
g75b	49.92	−17.29	−36.02	39.96	244
b00r	40.91	1.28	−42.35	42.37	272
b25r	26.81	30.38	−52.26	60.45	300
b50r	32.52	69.06	−42.14	80.9	329
b75r	39.48	71.47	−3.69	71.57	357

Ein und Ausgabe: Farbmetrisches Drucker-Reflektiv-System FRS12_95a für relativen CIELAB-Buntton $h^* = lab^*h^* = h_{ab}/360 = 0.679$ $u^*_e = g75b$

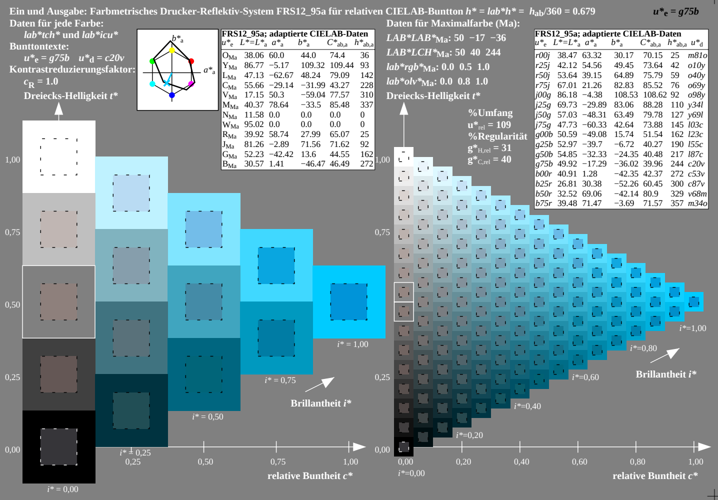

Daten für jede Farbe:
lab^*tch^* und lab^*icu^*
Bunttontexte:
$u^*_e = g75b$ $u^*_d = c20v$
Kontrastreduzierungsfaktor:
$c_R = 1.0$
Dreiecks-Helligkeit t^*

FRS12_95a; adaptierte CIELAB-Daten

u^*_e	$L^*=L^*_a$	a^*_a	b^*_a	$C^*_{ab,a}$	$h^*_{ab,a}$
O_{Ma}	38.06	60.0	44.0	74.4	36
Y_{Ma}	86.77	−5.17	109.32	109.44	93
L_{Ma}	47.13	−62.67	48.24	79.09	142
C_{Ma}	55.66	−29.14	−31.99	43.27	228
V_{Ma}	17.15	50.3	−59.04	77.57	310
M_{Ma}	40.37	78.64	−33.5	85.48	337
N_{Ma}	11.58	0.0	0.0	0.0	0
W_{Ma}	95.02	0.0	0.0	0.0	0
R_{Ma}	39.92	58.74	27.99	65.07	25
J_{Ma}	81.26	−2.89	71.56	71.62	92
G_{Ma}	52.23	−42.42	13.6	44.55	162
B_{Ma}	30.57	1.41	−46.47	46.49	272

Daten für Maximalfarbe (Ma):
$LAB^*LAB^*_{Ma}$: 50 −17 −36
$LAB^*LCH^*_{Ma}$: 50 40 244
$lab^*rgb^*_{Ma}$: 0.0 0.5 1.0
$lab^*olv^*_{Ma}$: 0.0 0.8 1.0
Dreiecks-Helligkeit t^*
%Umfang
$u^*_{rel} = 109$
%Regularität
$g^*_{H,rel} = 31$
$g^*_{C,rel} = 40$

FRS12_95a; adaptierte CIELAB-Daten

u^*_e	$L^*=L^*_a$	a^*_a	b^*_a	$C^*_{ab,a}$	$h^*_{ab,a}$	u^*_d
r00j	38.47	63.32	30.17	70.15	25	m81o
r25j	42.12	54.56	49.45	73.64	42	o10y
r50j	53.64	39.15	64.89	75.79	59	o40y
r75j	67.01	21.26	82.83	85.52	76	o69y
j00g	86.18	−4.38	108.53	108.62	92	o98y
j25g	69.73	−29.89	83.06	88.28	110	y34l
j50g	57.03	−48.31	63.49	79.78	127	y69l
j75g	47.73	−60.33	42.64	73.88	145	l03c
g00b	50.59	−49.08	15.74	51.54	162	l23c
g25b	52.97	−39.7	−6.72	40.27	190	l55c
g50b	54.85	−32.33	−24.35	40.48	217	l87c
g75b	49.92	−17.29	−36.02	39.96	244	c20v
b00r	40.91	1.28	−42.35	42.37	272	c53v
b25r	26.81	30.38	−52.26	60.45	300	c87v
b50r	32.52	69.06	−42.14	80.9	329	v68m
b75r	39.48	71.47	−3.69	71.57	357	m34o

Ein und Ausgabe: Farbmetrisches Drucker-Reflektiv-System FRS12_95a für relativen CIELAB-Buntton $h^* = lab^*h^* = h_{ab}/360 = 0.755$ $u^*_e = b00r$

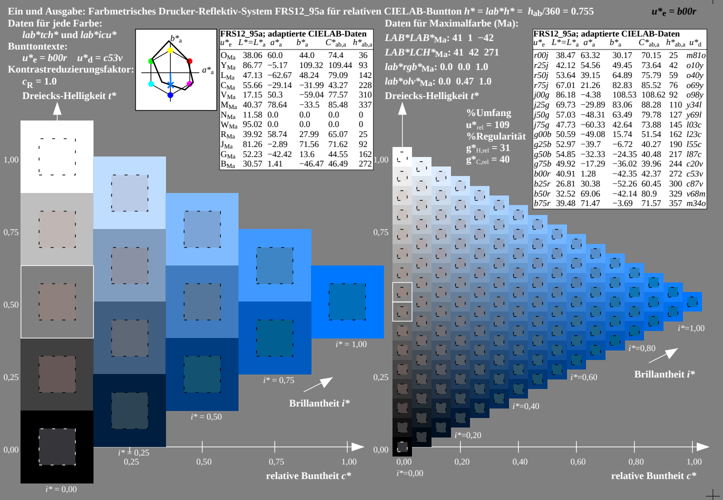

Daten für jede Farbe:
lab^*tch^* und lab^*icu^*
Bunttontexte:
$u^*_e = b00r$ $u^*_d = c53v$
Kontrastreduzierungsfaktor:
$c_R = 1.0$
Dreiecks-Helligkeit t^*

FRS12_95a; adaptierte CIELAB-Daten

u^*_e	$L^*=L^*_a$	a^*_a	b^*_a	$C^*_{ab,a}$	$h^*_{ab,a}$
O_{Ma}	38.06	60.0	44.0	74.4	36
Y_{Ma}	86.77	−5.17	109.32	109.44	93
L_{Ma}	47.13	−62.67	48.24	79.09	142
C_{Ma}	55.66	−29.14	−31.99	43.27	228
V_{Ma}	17.15	50.3	−59.04	77.57	310
M_{Ma}	40.37	78.64	−33.5	85.48	337
N_{Ma}	11.58	0.0	0.0	0.0	0
W_{Ma}	95.02	0.0	0.0	0.0	0
R_{Ma}	39.92	58.74	27.99	65.07	25
J_{Ma}	81.26	−2.89	71.56	71.62	92
G_{Ma}	52.23	−42.42	13.6	44.55	162
B_{Ma}	30.57	1.41	−46.47	46.49	272

Daten für Maximalfarbe (Ma):
$LAB^*LAB^*_{Ma}$: 41 1 −42
$LAB^*LCH^*_{Ma}$: 41 42 271
$lab^*rgb^*_{Ma}$: 0.0 0.0 1.0
$lab^*olv^*_{Ma}$: 0.0 0.47 1.0
Dreiecks-Helligkeit t^*
%Umfang
$u^*_{rel} = 109$
%Regularität
$g^*_{H,rel} = 31$
$g^*_{C,rel} = 40$

FRS12_95a; adaptierte CIELAB-Daten

u^*_e	$L^*=L^*_a$	a^*_a	b^*_a	$C^*_{ab,a}$	$h^*_{ab,a}$	u^*_d
r00j	38.47	63.32	30.17	70.15	25	m81o
r25j	42.12	54.56	49.45	73.64	42	o10y
r50j	53.64	39.15	64.89	75.79	59	o40y
r75j	67.01	21.26	82.83	85.52	76	o69y
j00g	86.18	−4.38	108.53	108.62	92	o98y
j25g	69.73	−29.89	83.06	88.28	110	y34l
j50g	57.03	−48.31	63.49	79.78	127	y69l
j75g	47.73	−60.33	42.64	73.88	145	l03c
g00b	50.59	−49.08	15.74	51.54	162	l23c
g25b	52.97	−39.7	−6.72	40.27	190	l55c
g50b	54.85	−32.33	−24.35	40.48	217	l87c
g75b	49.92	−17.29	−36.02	39.96	244	c20v
b00r	40.91	1.28	−42.35	42.37	272	c53v
b25r	26.81	30.38	−52.26	60.45	300	c87v
b50r	32.52	69.06	−42.14	80.9	329	v68m
b75r	39.48	71.47	−3.69	71.57	357	m34o

Ein und Ausgabe: Farbmetrisches Drucker-Reflektiv-System FRS12_95a für relativen CIELAB-Buntton $h^* = lab^*h^* = h_{ab}/360 = 0.834$ $u^*_e = b$

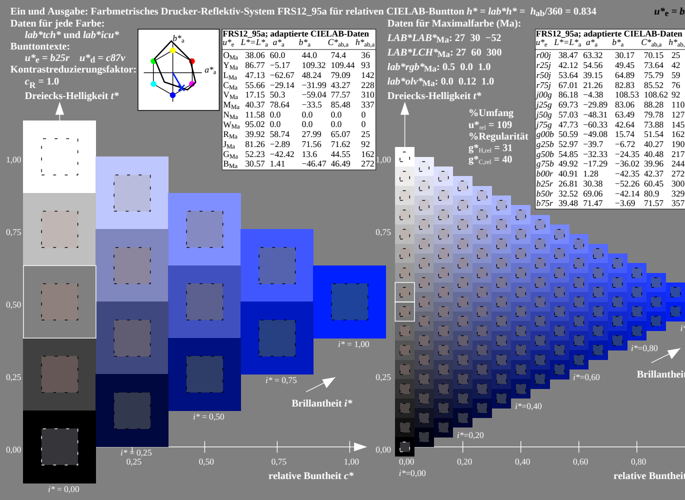

Daten für jede Farbe:
lab^*tch^* und lab^*icu^*
Bunttontexte:
$u^*_e = b25r$ $u^*_d = c87v$
Kontrastreduzierungsfaktor:
$c_R = 1.0$
Dreiecks-Helligkeit t^*

FRS12_95a; adaptierte CIELAB-Daten

u^*_e	$L^*=L^*_a$	a^*_a	b^*_a	$C^*_{ab,a}$	$h^*_{ab,a}$
O_{Ma}	38.06	60.0	44.0	74.4	36
Y_{Ma}	86.77	−5.17	109.32	109.44	93
L_{Ma}	47.13	−62.67	48.24	79.09	142
C_{Ma}	55.66	−29.14	−31.99	43.27	228
V_{Ma}	17.15	50.3	−59.04	77.57	310
M_{Ma}	40.37	78.64	−33.5	85.48	337
N_{Ma}	11.58	0.0	0.0	0.0	0
W_{Ma}	95.02	0.0	0.0	0.0	0
R_{Ma}	39.92	58.74	27.99	65.07	25
J_{Ma}	81.26	−2.89	71.56	71.62	92
G_{Ma}	52.23	−42.42	13.6	44.55	162
B_{Ma}	30.57	1.41	−46.47	46.49	272

Daten für Maximalfarbe (Ma):
$LAB^*LAB^*_{Ma}$: 27 30 −52
$LAB^*LCH^*_{Ma}$: 27 60 300
$lab^*rgb^*_{Ma}$: 0.5 0.0 1.0
$lab^*olv^*_{Ma}$: 0.0 0.12 1.0
Dreiecks-Helligkeit t^*
%Umfang
$u^*_{rel} = 109$
%Regularität
$g^*_{H,rel} = 31$
$g^*_{C,rel} = 40$

FRS12_95a; adaptierte CIELAB-Daten

u^*_e	$L^*=L^*_a$	a^*_a	b^*_a	$C^*_{ab,a}$	$h^*_{ab,}$
r00j	38.47	63.32	30.17	70.15	25
r25j	42.12	54.56	49.45	73.64	42
r50j	53.64	39.15	64.89	75.79	59
r75j	67.01	21.26	82.83	85.52	76
j00g	86.18	−4.38	108.53	108.62	92
j25g	69.73	−29.89	83.06	88.28	110
j50g	57.03	−48.31	63.49	79.78	127
j75g	47.73	−60.33	42.64	73.88	145
g00b	50.59	−49.08	15.74	51.54	162
g25b	52.97	−39.7	−6.72	40.27	190
g50b	54.85	−32.33	−24.35	40.48	217
g75b	49.92	−17.29	−36.02	39.96	244
b00r	40.91	1.28	−42.35	42.37	272
b25r	26.81	30.38	−52.26	60.45	300
b50r	32.52	69.06	−42.14	80.9	329
b75r	39.48	71.47	−3.69	71.57	357

Ein und Ausgabe: Farbmetrisches Drucker-Reflektiv-System FRS12_95a für relativen CIELAB-Buntton $h^* = lab^*h^* = h_{ab}/360 = 0.913$ $u^*_e = b50r$

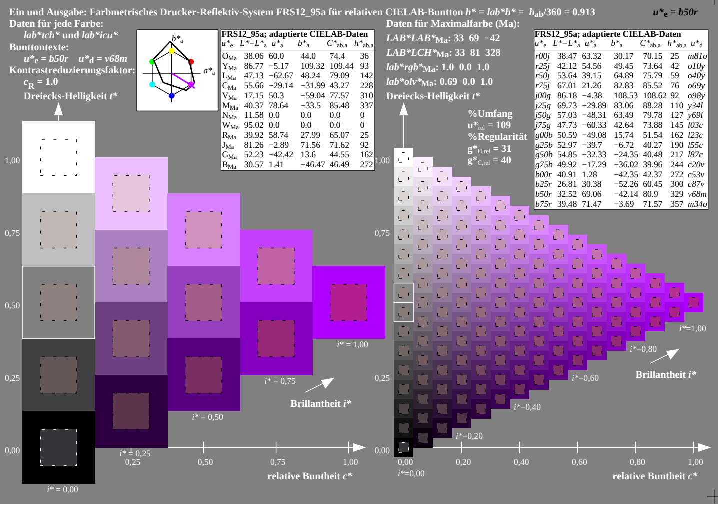

Daten für jede Farbe:
lab^*tch^* und lab^*icu^*
Bunttontexte:
$u^*_e = b50r$ $u^*_d = v68m$
Kontrastreduzierungsfaktor:
$c_R = 1.0$
Dreiecks-Helligkeit t^*

FRS12_95a; adaptierte CIELAB-Daten

u^*_e	$L^*=L^*_a$	a^*_a	b^*_a	$C^*_{ab,a}$	$h^*_{ab,a}$
O_{Ma}	38.06	60.0	44.0	74.4	36
Y_{Ma}	86.77	−5.17	109.32	109.44	93
L_{Ma}	47.13	−62.67	48.24	79.09	142
C_{Ma}	55.66	−29.14	−31.99	43.27	228
V_{Ma}	17.15	50.3	−59.04	77.57	310
M_{Ma}	40.37	78.64	−33.5	85.48	337
N_{Ma}	11.58	0.0	0.0	0.0	0
W_{Ma}	95.02	0.0	0.0	0.0	0
R_{Ma}	39.92	58.74	27.99	65.07	25
J_{Ma}	81.26	−2.89	71.56	71.62	92
G_{Ma}	52.23	−42.42	13.6	44.55	162
B_{Ma}	30.57	1.41	−46.47	46.49	272

Daten für Maximalfarbe (Ma):
$LAB^*LAB^*_{Ma}$: 33 69 −42
$LAB^*LCH^*_{Ma}$: 33 81 328
$lab^*rgb^*_{Ma}$: 1.0 0.0 1.0
$lab^*olv^*_{Ma}$: 0.69 0.0 1.0
Dreiecks-Helligkeit t^*
%Umfang
$u^*_{rel} = 109$
%Regularität
$g^*_{H,rel} = 31$
$g^*_{C,rel} = 40$

FRS12_95a; adaptierte CIELAB-Daten

u^*_e	$L^*=L^*_a$	a^*_a	b^*_a	$C^*_{ab,a}$	$h^*_{ab,a}$	u^*_d
r00j	38.47	63.32	30.17	70.15	25	m81o
r25j	42.12	54.56	49.45	73.64	42	o10y
r50j	53.64	39.15	64.89	75.79	59	o40y
r75j	67.01	21.26	82.83	85.52	76	o69y
j00g	86.18	−4.38	108.53	108.62	92	o98y
j25g	69.73	−29.89	83.06	88.28	110	y34l
j50g	57.03	−48.31	63.49	79.78	127	y69l
j75g	47.73	−60.33	42.64	73.88	145	l03c
g00b	50.59	−49.08	15.74	51.54	162	l23c
g25b	52.97	−39.7	−6.72	40.27	190	l55c
g50b	54.85	−32.33	−24.35	40.48	217	l87c
g75b	49.92	−17.29	−36.02	39.96	244	c20v
b00r	40.91	1.28	−42.35	42.37	272	c53v
b25r	26.81	30.38	−52.26	60.45	300	c87v
b50r	32.52	69.06	−42.14	80.9	329	v68m
b75r	39.48	71.47	−3.69	71.57	357	m34o

Ein und Ausgabe: Farbmetrisches Drucker-Reflektiv-System FRS12_95a für relativen CIELAB-Buntton $h^* = lab^*h^* = h_{ab}/360 = 0.992$ $u^*_e = b75r$

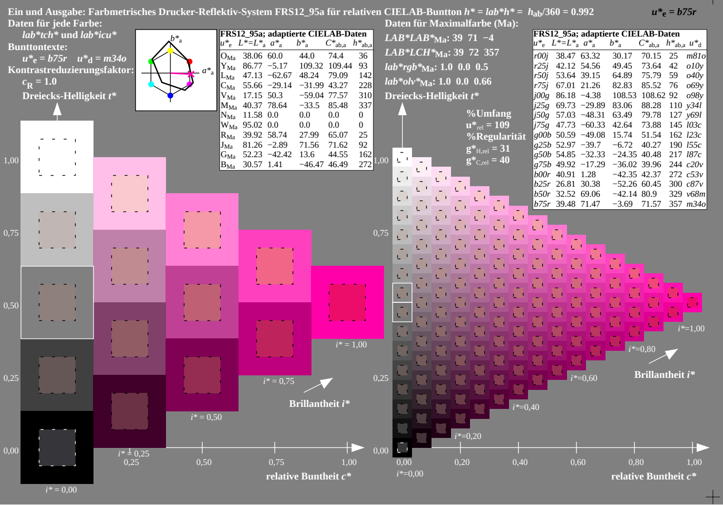

Daten für jede Farbe:
lab^*tch^* und lab^*icu^*
Bunttontexte:
$u^*_e = b75r$ $u^*_d = m34o$
Kontrastreduzierungsfaktor:
$c_R = 1.0$
Dreiecks-Helligkeit t^*

FRS12_95a; adaptierte CIELAB-Daten

u^*_e	$L^*=L^*_a$	a^*_a	b^*_a	$C^*_{ab,a}$	$h^*_{ab,a}$
O_{Ma}	38.06	60.0	44.0	74.4	36
Y_{Ma}	86.77	−5.17	109.32	109.44	93
L_{Ma}	47.13	−62.67	48.24	79.09	142
C_{Ma}	55.66	−29.14	−31.99	43.27	228
V_{Ma}	17.15	50.3	−59.04	77.57	310
M_{Ma}	40.37	78.64	−33.5	85.48	337
N_{Ma}	11.58	0.0	0.0	0.0	0
W_{Ma}	95.02	0.0	0.0	0.0	0
R_{Ma}	39.92	58.74	27.99	65.07	25
J_{Ma}	81.26	−2.89	71.56	71.62	92
G_{Ma}	52.23	−42.42	13.6	44.55	162
B_{Ma}	30.57	1.41	−46.47	46.49	272

Daten für Maximalfarbe (Ma):
$LAB^*LAB^*_{Ma}$: 39 71 −4
$LAB^*LCH^*_{Ma}$: 39 72 357
$lab^*rgb^*_{Ma}$: 1.0 0.0 0.5
$lab^*olv^*_{Ma}$: 1.0 0.0 0.66
Dreiecks-Helligkeit t^*
%Umfang
$u^*_{rel} = 109$
%Regularität
$g^*_{H,rel} = 31$
$g^*_{C,rel} = 40$

FRS12_95a; adaptierte CIELAB-Daten

u^*_e	$L^*=L^*_a$	a^*_a	b^*_a	$C^*_{ab,a}$	$h^*_{ab,a}$	u^*_d
r00j	38.47	63.32	30.17	70.15	25	m81o
r25j	42.12	54.56	49.45	73.64	42	o10y
r50j	53.64	39.15	64.89	75.79	59	o40y
r75j	67.01	21.26	82.83	85.52	76	o69y
j00g	86.18	−4.38	108.53	108.62	92	o98y
j25g	69.73	−29.89	83.06	88.28	110	y34l
j50g	57.03	−48.31	63.49	79.78	127	y69l
j75g	47.73	−60.33	42.64	73.88	145	l03c
g00b	50.59	−49.08	15.74	51.54	162	l23c
g25b	52.97	−39.7	−6.72	40.27	190	l55c
g50b	54.85	−32.33	−24.35	40.48	217	l87c
g75b	49.92	−17.29	−36.02	39.96	244	c20v
b00r	40.91	1.28	−42.35	42.37	272	c53v
b25r	26.81	30.38	−52.26	60.45	300	c87v
b50r	32.52	69.06	−42.14	80.9	329	v68m
b75r	39.48	71.47	−3.69	71.57	357	m34o

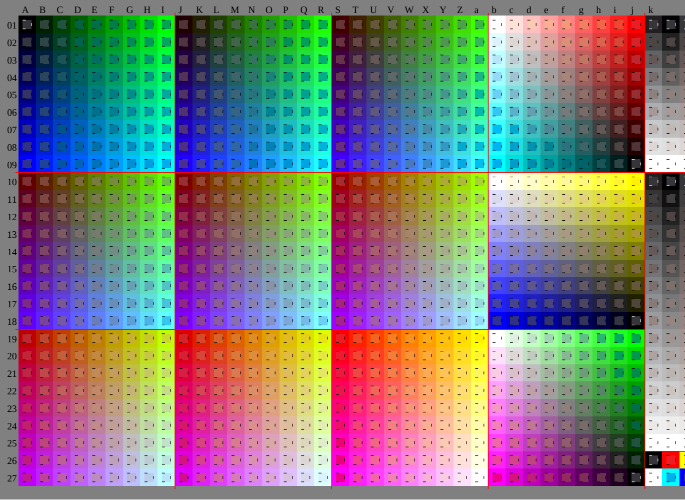
A B C D E F G H I J K L M N O P Q R S T U V W X Y Z a b c d e f g h i j k
01
02
03
04
05
06
07
08
09
10
11
12
13
14
15
16
17
18
19
20
21
22
23
24
25
26
27